

量子コヒーレンスによる 素粒子微弱過程の增幅に向けた理論研究

田中 実 (阪大)

新学術領域「ニュートリノで拓く素粒子と宇宙」公募研究紹介セミナー, 2021/11/16

これまでの研究

原子集団におけるコヒーレント過程

R.H. Dicke, Phys. Rev. 93, 99 (1954)

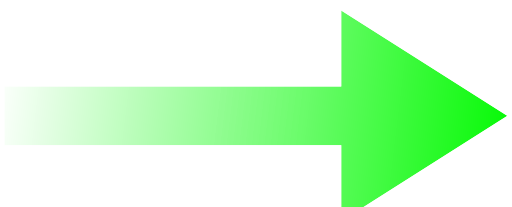
An ensemble of N atoms in a small volume L^3

$$L \ll \text{wave length} \implies e^{-ikx} \sim 1$$

Density matrix $\rho = \rho_{gg}|g\rangle\langle g| + \rho_{ee}|e\rangle\langle e| + \rho_{eg}|e\rangle\langle g| + \rho_{ge}|g\rangle\langle e|$

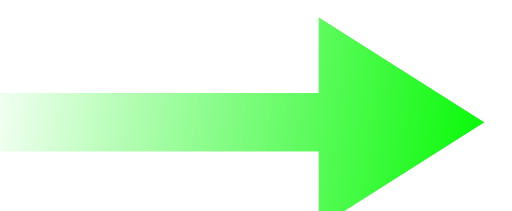
Fully excited state: $|e\rangle^N = |e\rangle \cdots |e\rangle$, $\rho_{eg} = 0$

deexcitation: $(\sum |g\rangle\langle e|) \prod |e\rangle = |g\rangle|e\rangle \cdots |e\rangle + |e\rangle|g\rangle \cdots |e\rangle + \cdots + |e\rangle|e\rangle \cdots |g\rangle$

 $\Gamma = N\Gamma_0$ **incoherent**

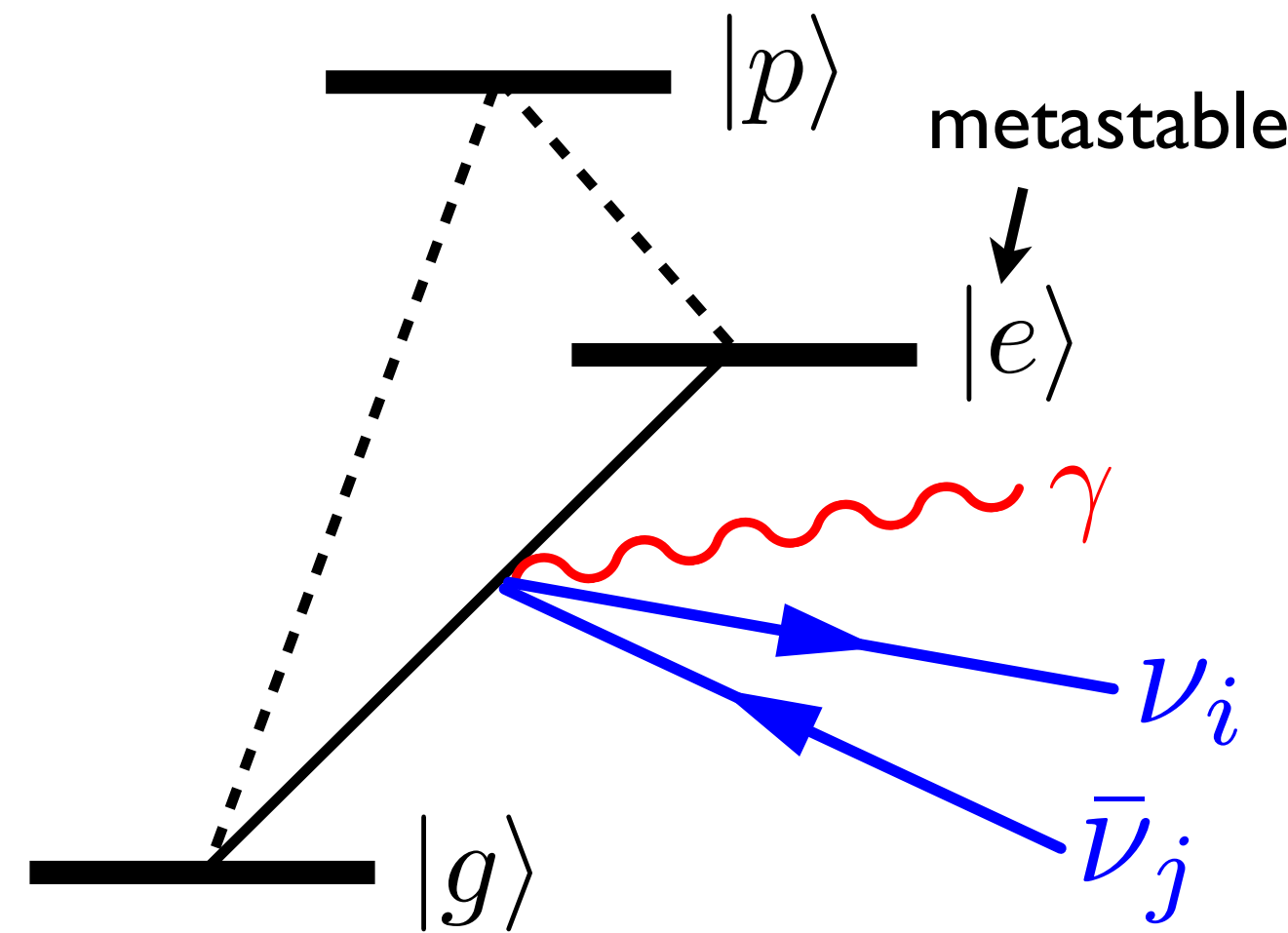
Fully coherent state: $\left[(|g\rangle + |e\rangle)/\sqrt{2} \right]^N$, $\rho_{eg} = 1/2$

 **deexcitation** $[|g\rangle(|g\rangle + |e\rangle) \cdots (|g\rangle + |e\rangle) + (|g\rangle + |e\rangle)|g\rangle \cdots (|g\rangle + |e\rangle) + \cdots] / \sqrt{2^N}$

 $\Gamma = N(N+1)\Gamma_0/4 \sim O(N^2)$ **coherent**

Radiative Emission of Neutrino Pair (RENP)

A.Fukumi et al. PTEP (2012) 04D002, arXiv:1211.4904



$$|e\rangle \rightarrow |g\rangle + \gamma + \nu_i \bar{\nu}_j$$

Lambda-type level structure

Ba, Xe, Ca⁺, Yb, ...

H₂, O₂, I₂, ...

Atomic/molecular energy scale \sim eV or less

close to the neutrino mass scale

cf. nuclear processes \sim MeV

Rate $\sim \alpha G_F^2 E^5 \sim 1/(10^{33} \text{ s})$

Enhancement by coherence

Macrocoherence

Yoshimura et al. (2008)

$$|e\rangle \xrightarrow{\nu_i} \vec{p} \\ \vec{k} \xleftarrow{\gamma} \xrightarrow{\bar{\nu}_j} \vec{p}' \\ |g\rangle \propto e^{-i(\vec{k}+\vec{p}+\vec{p}') \cdot \vec{x}_a} (2\pi) \delta(\epsilon_{eg} - \omega - E_p - E_{p'}) \\ (\epsilon_{eg} = \epsilon_e - \epsilon_g, \omega = |\vec{k}|)$$

position of atom

Macroscopic target of N atoms, volume V ($n=N/V$)

$$\text{total amp.} \propto \sum_a e^{-i(\vec{k}+\vec{p}+\vec{p}') \cdot \vec{x}_a} \simeq \frac{N}{V} (2\pi)^3 \delta^3(\vec{k} + \vec{p} + \vec{p}')$$

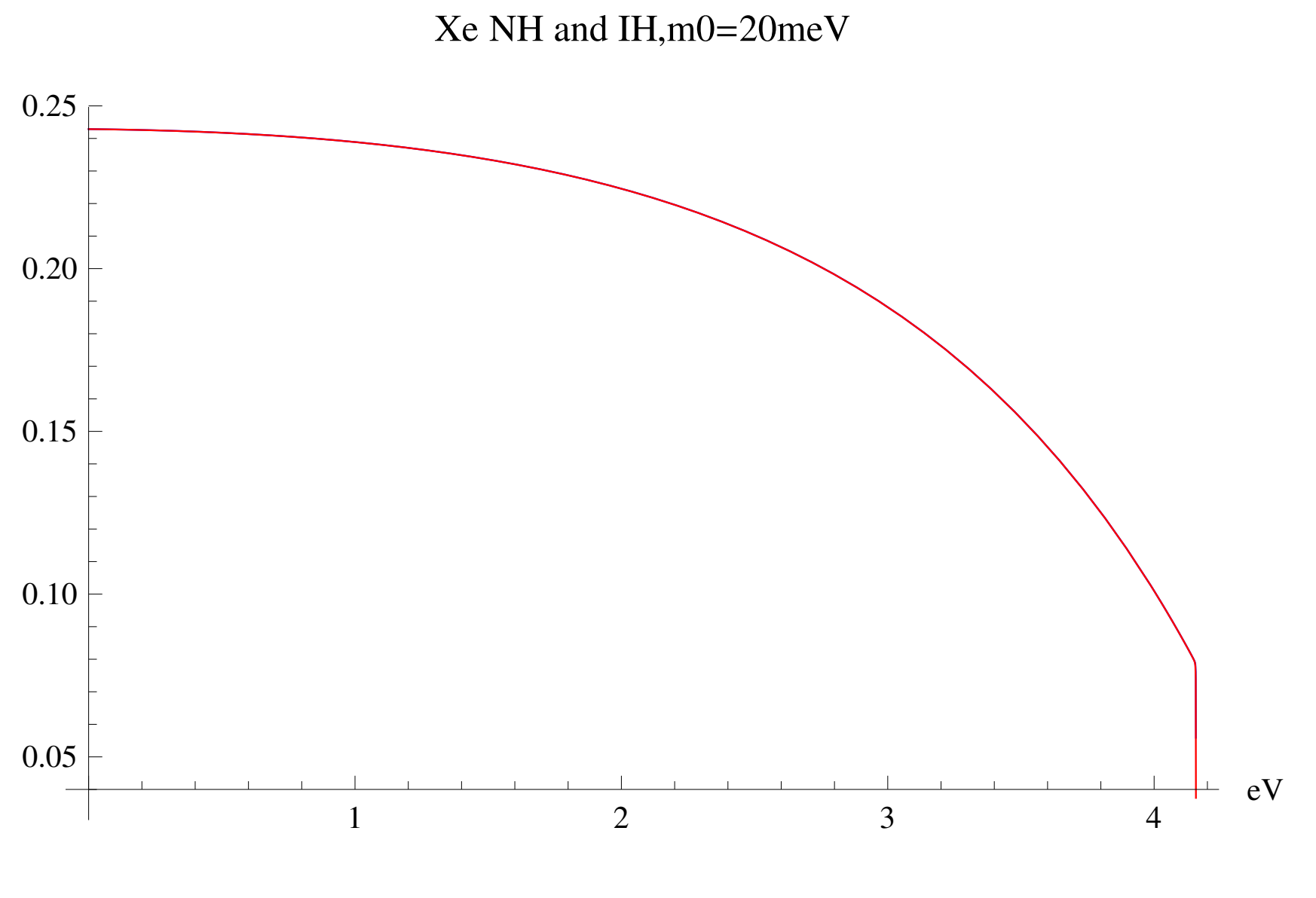
momentum conservation

$$d\Gamma \propto n^2 V (2\pi)^4 \delta^4(q - p - p') \quad (q^\mu) = (\epsilon_{eg} - \omega, -\vec{k})$$

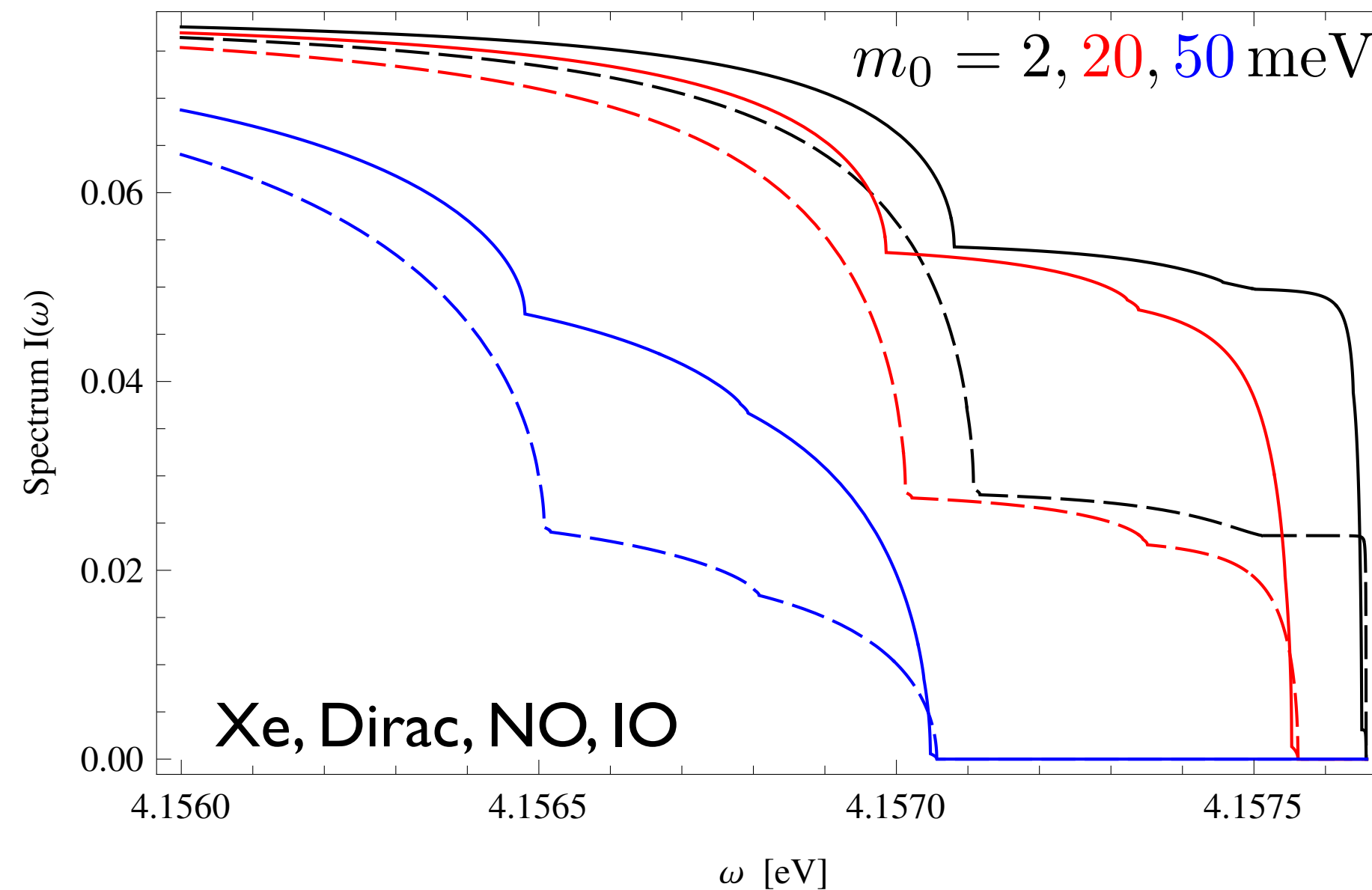
macrocoherent amplification

Photon spectrum (spin current)

Global shape



Threshold region



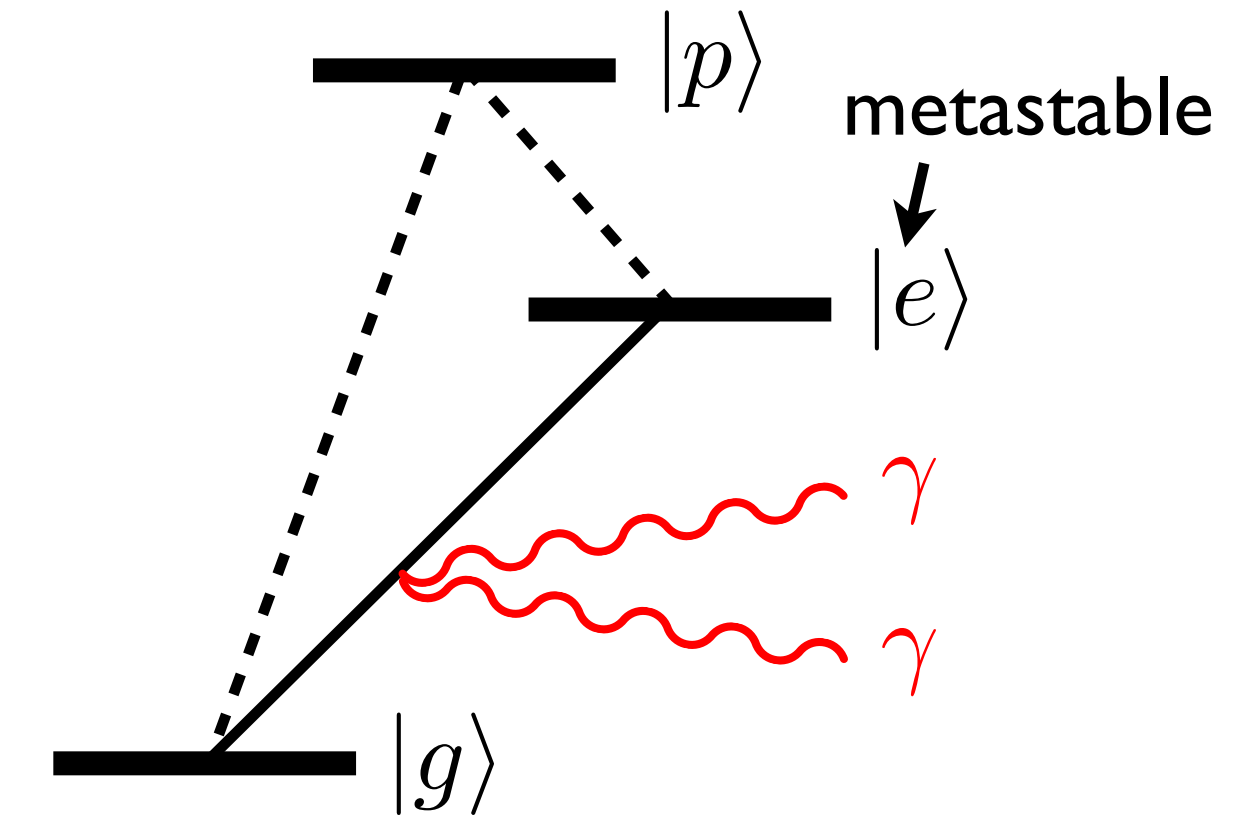
Paired Super-Radiance (PSR)

M.Yoshimura, N.Sasao, MT, PRA86, 013812 (2012)

$$|e\rangle \rightarrow |g\rangle + \gamma + \gamma$$

Prototype for RENP

proof-of-concept for the macrocoherence



Preparation of initial state for RENP

coherence generation ρ_{eg}

dynamical factor $\eta_\omega(t)$

Theoretical description to be tested

Maxwell-Bloch equation

Para-hydrogen gas PSR experiment @ Okayama U

vibrational transition of p-H₂

$$|e\rangle = |Xv=1\rangle \rightarrow |g\rangle = |Xv=0\rangle$$

two-photon decay: $\tau_{2\gamma} \sim 10^{11}$ s

p-H₂: nuclear spin=singlet

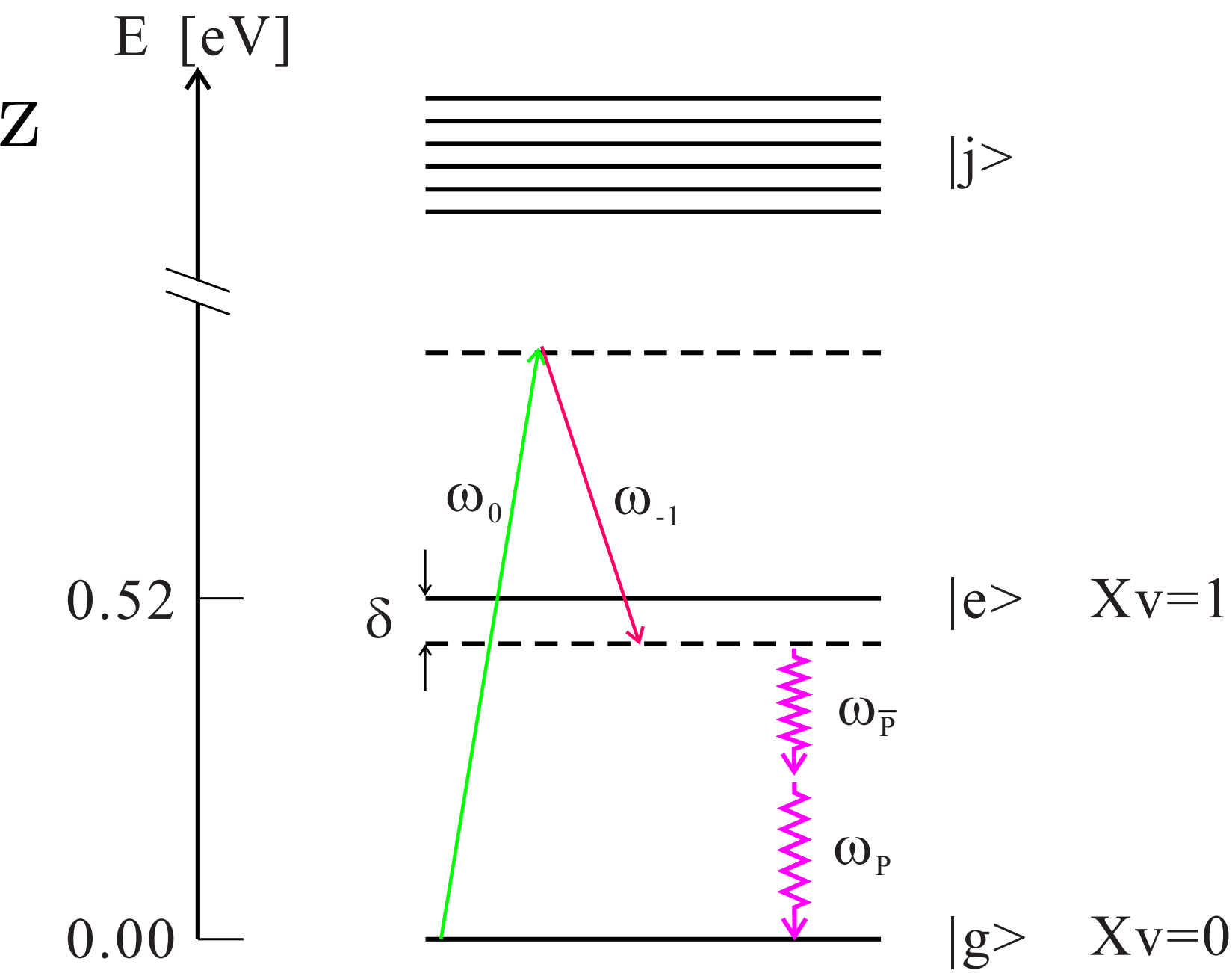
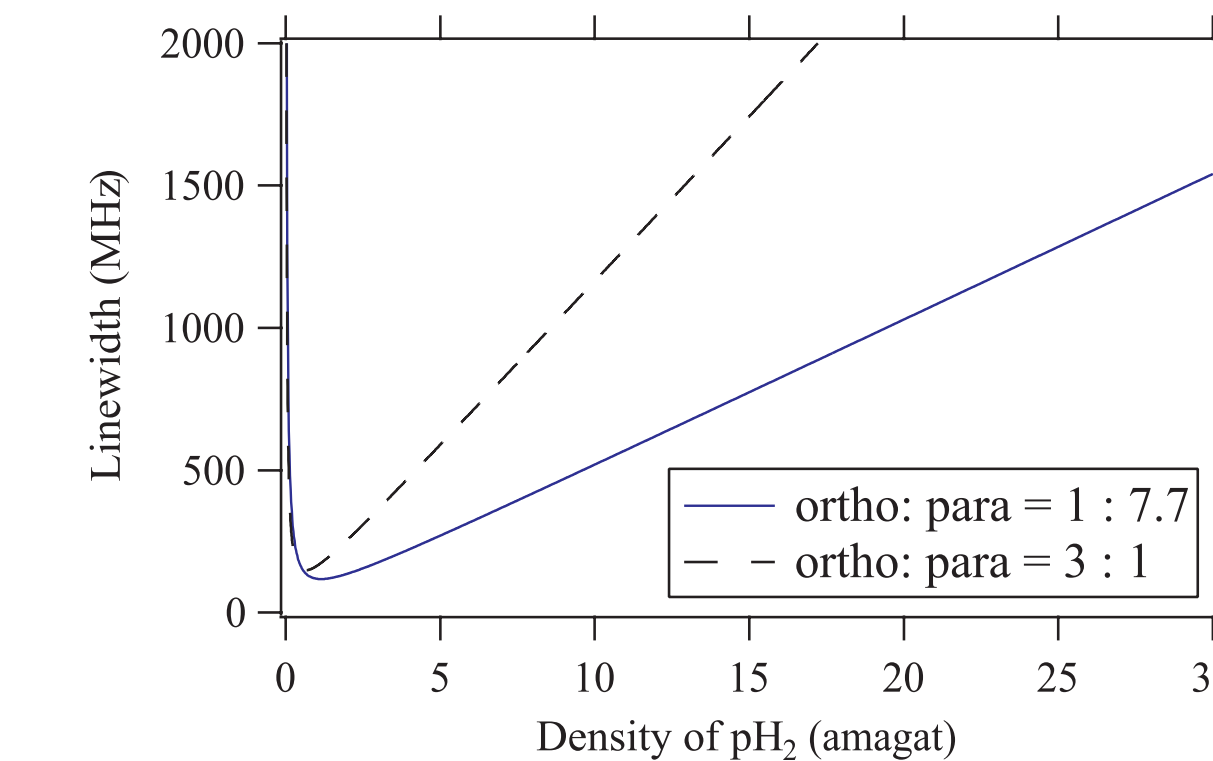
smaller decoherence $1/T_2 \sim 130$ MHz

coherence production

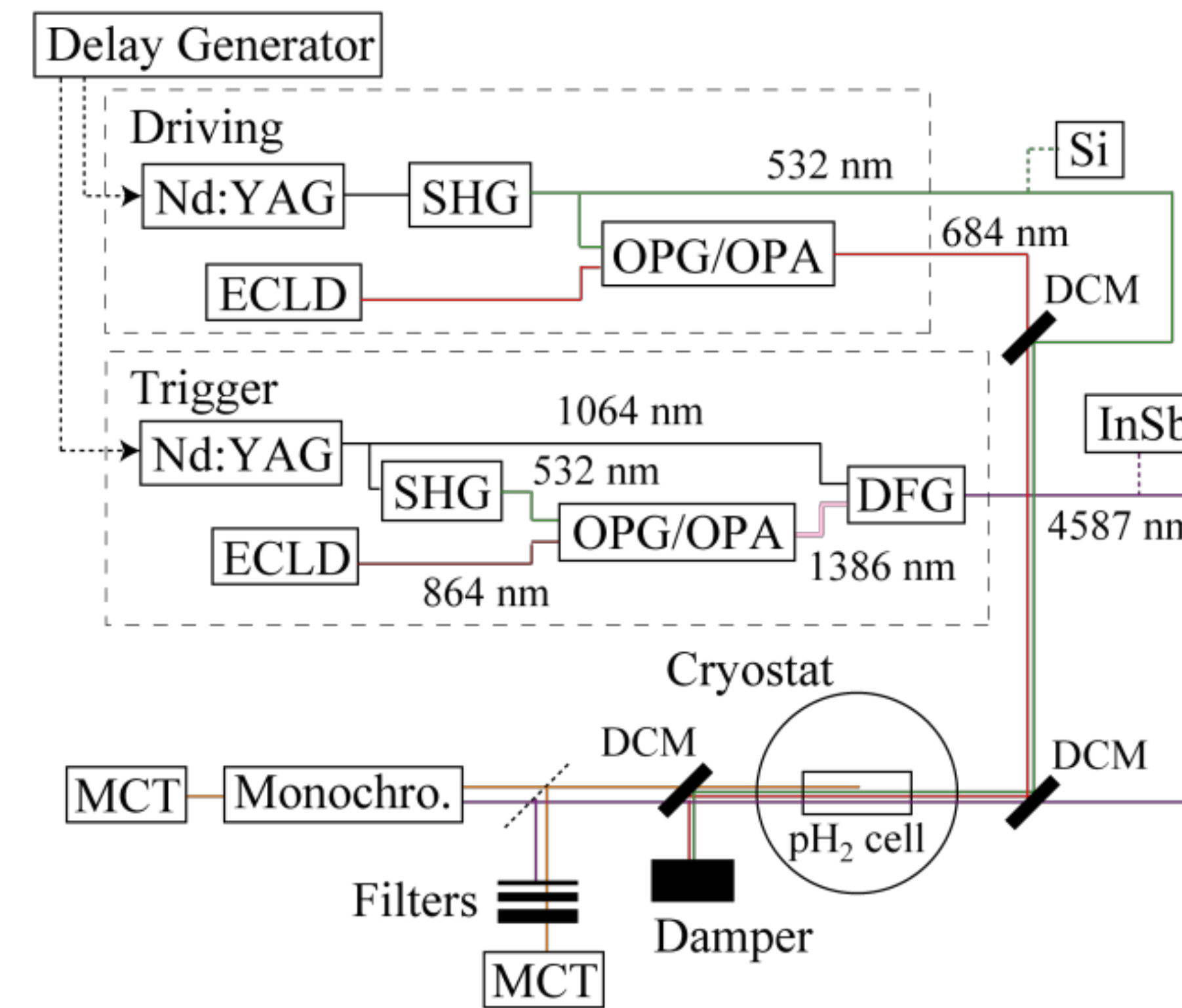
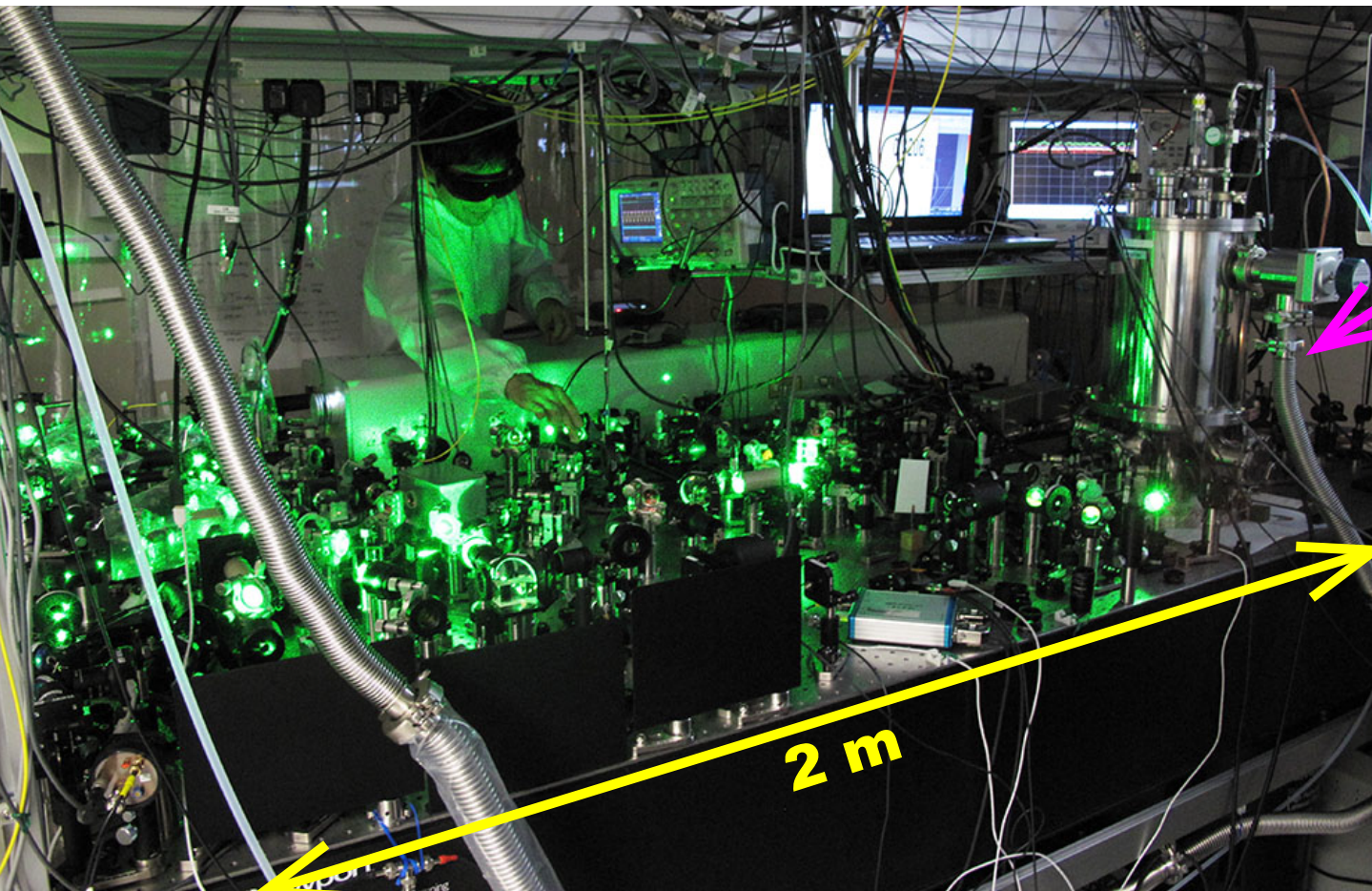
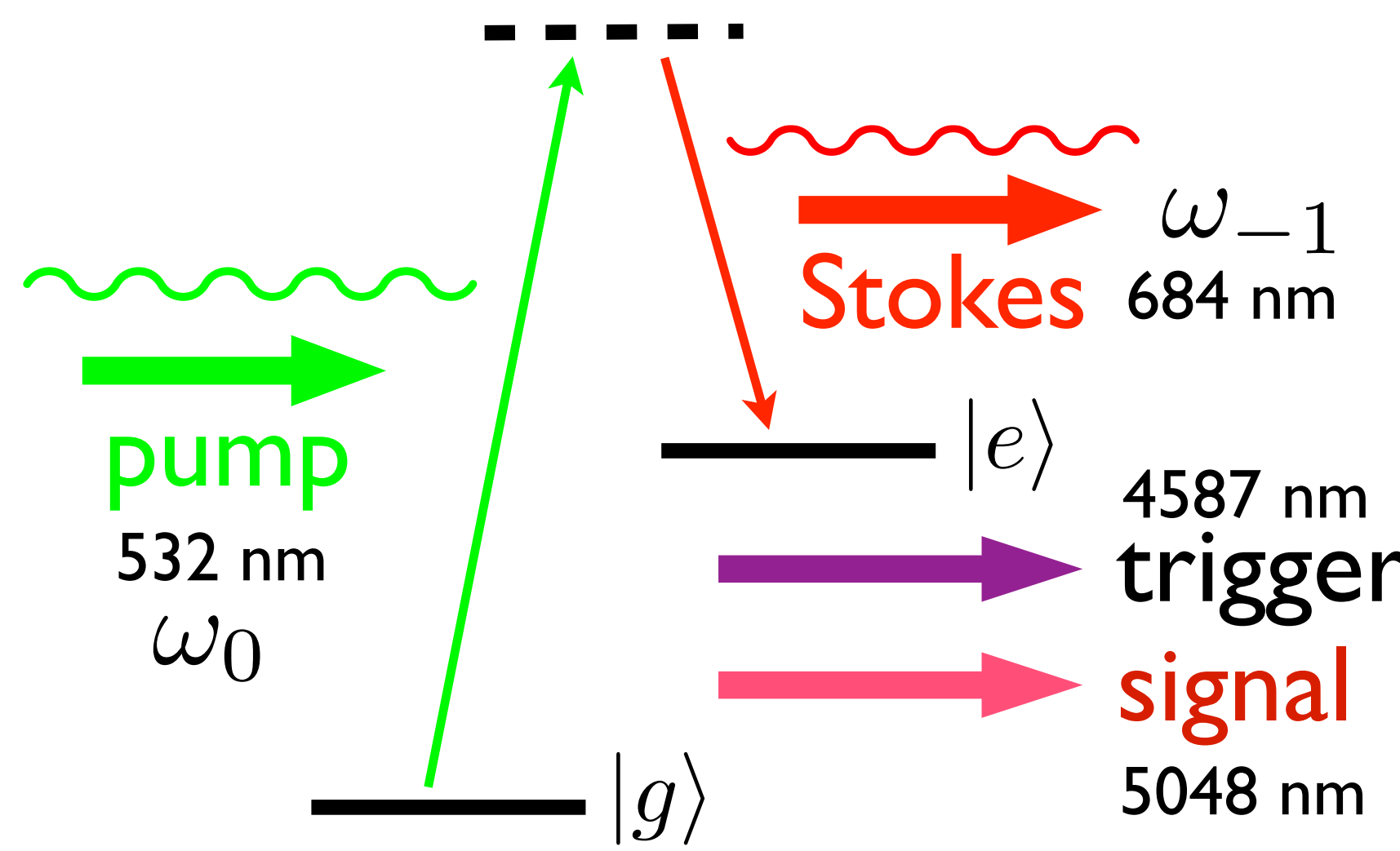
adiabatic Raman process

$$\begin{aligned}\Delta\omega &= \omega_0 - \omega_{-1} \\ &= \epsilon_{eg} - \delta \quad \text{detuning} \\ &= \omega_p + \omega_{\bar{p}}\end{aligned}$$

Y. Miyamoto et al. PTEP113C01(2014),
PTEP081C01(2015)



Experimental setup



Target cell: $L=15 \text{ cm}$, $\Phi=2 \text{ cm}$, 78 K , 60 kPa

$$n = 5.6 \times 10^{19} \text{ cm}^{-3} \quad 1/T_2 \sim 130 \text{ MHz}$$

Driving lasers: 532, 684 nm

5 mJ, 9, 6 ns, $w_0 = 100 \mu\text{m}$ (5 GW/cm^2)

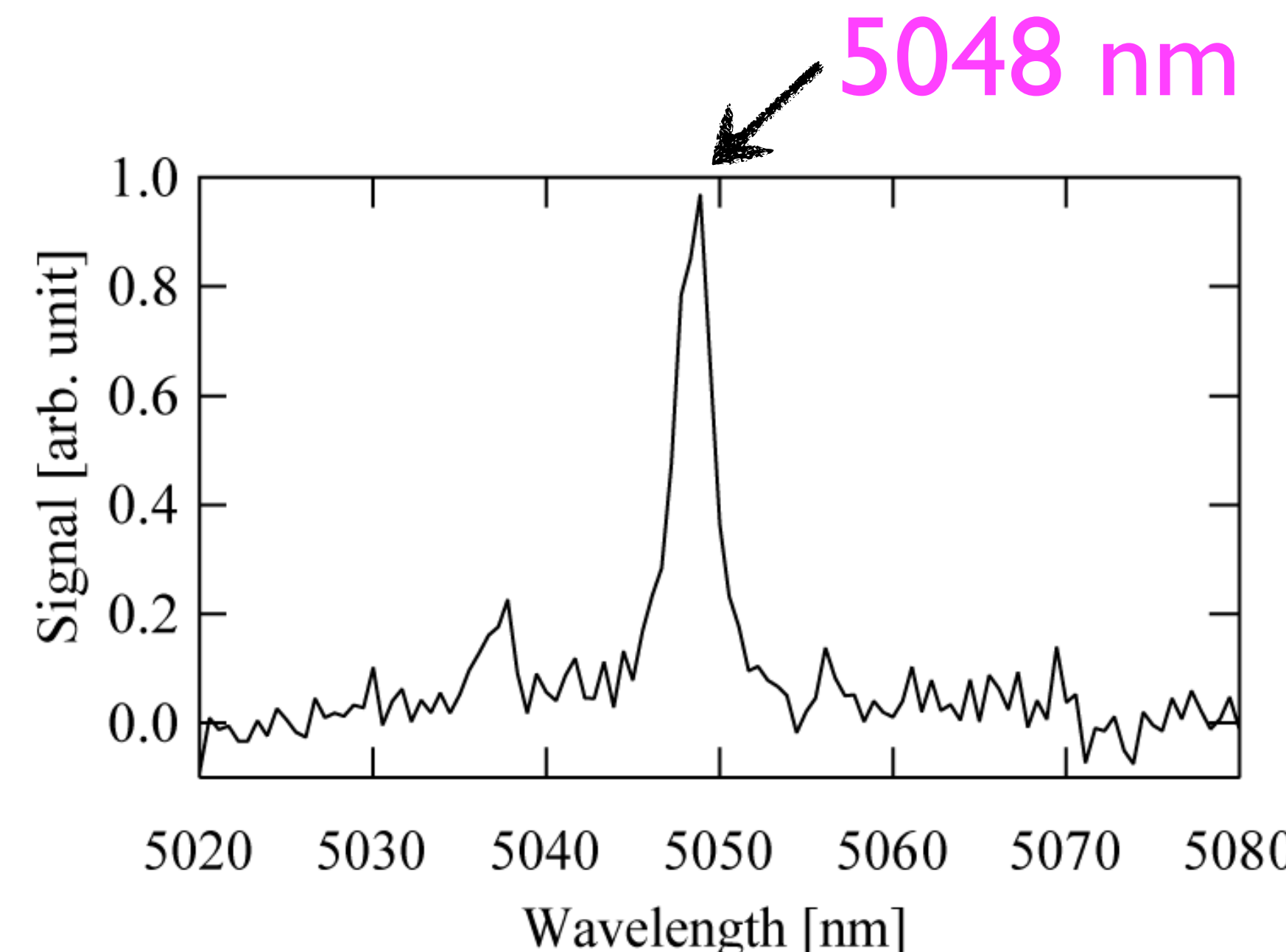
Trigger: 4587 nm

150 μJ , 2 ns

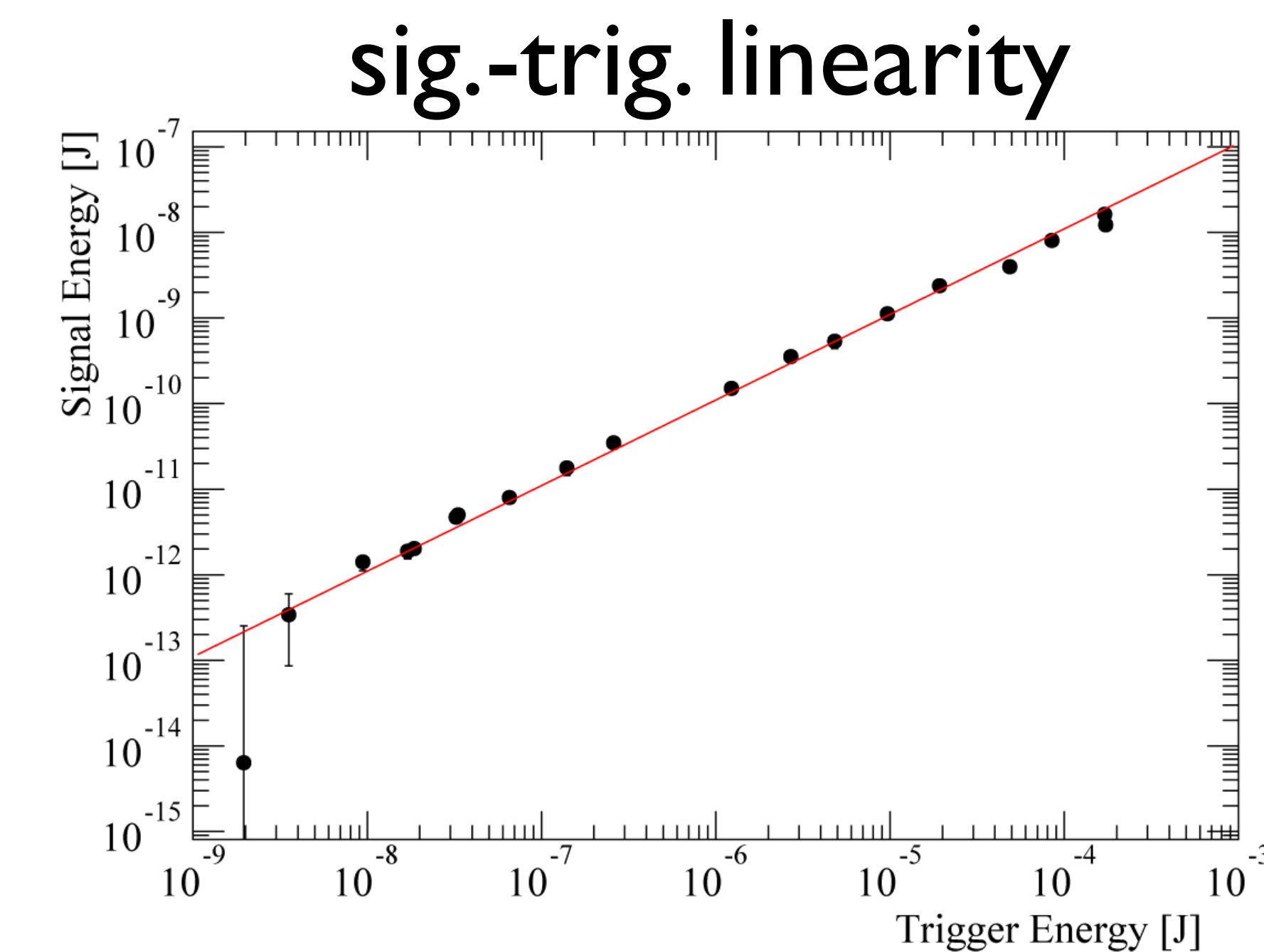
Results

Estimated coherence (from sidebands)

$$|\rho_{eg}| \sim 0.04 \quad (\delta = -160 \text{ MHz})$$



6×10^{11} photons/pulse
→ 10^{18} enhancement



weak field
low coherence

ハローダークフォトン/アクション 探索計画

共同研究者

宮本祐樹, 笹尾 登, Wang Jing (岡山大)

軽い暗黒物質候補

アクション, アクション様粒子
略

ダークフォトン

標準模型のゲージセクターの最小拡張 $U_X(1)$

$$\mathcal{L} = -\frac{1}{4}F_{\mu\nu}F^{\mu\nu} - \frac{1}{4}X_{\mu\nu}X^{\mu\nu} - \boxed{-\frac{\chi}{2}F_{\mu\nu}X^{\mu\nu}} + \frac{1}{2}m_X^2 X_\mu X^\mu - j_{\text{em}}^\mu A_\mu$$

kinetic mixing

2パラメーター: m_X, χ

標準模型+ダークフォトン+インフレーション

Graham, Mardon, Rajendran, PRD93, 103520 (2016)

→ ダークフォトン暗黒物質

$$\Omega_X = \Omega_{\text{CDM}} \left(\frac{m_X}{6 \times 10^{-6} \text{ eV}} \right)^{1/2} \left(\frac{H_I}{10^{14} \text{ GeV}} \right)^2$$

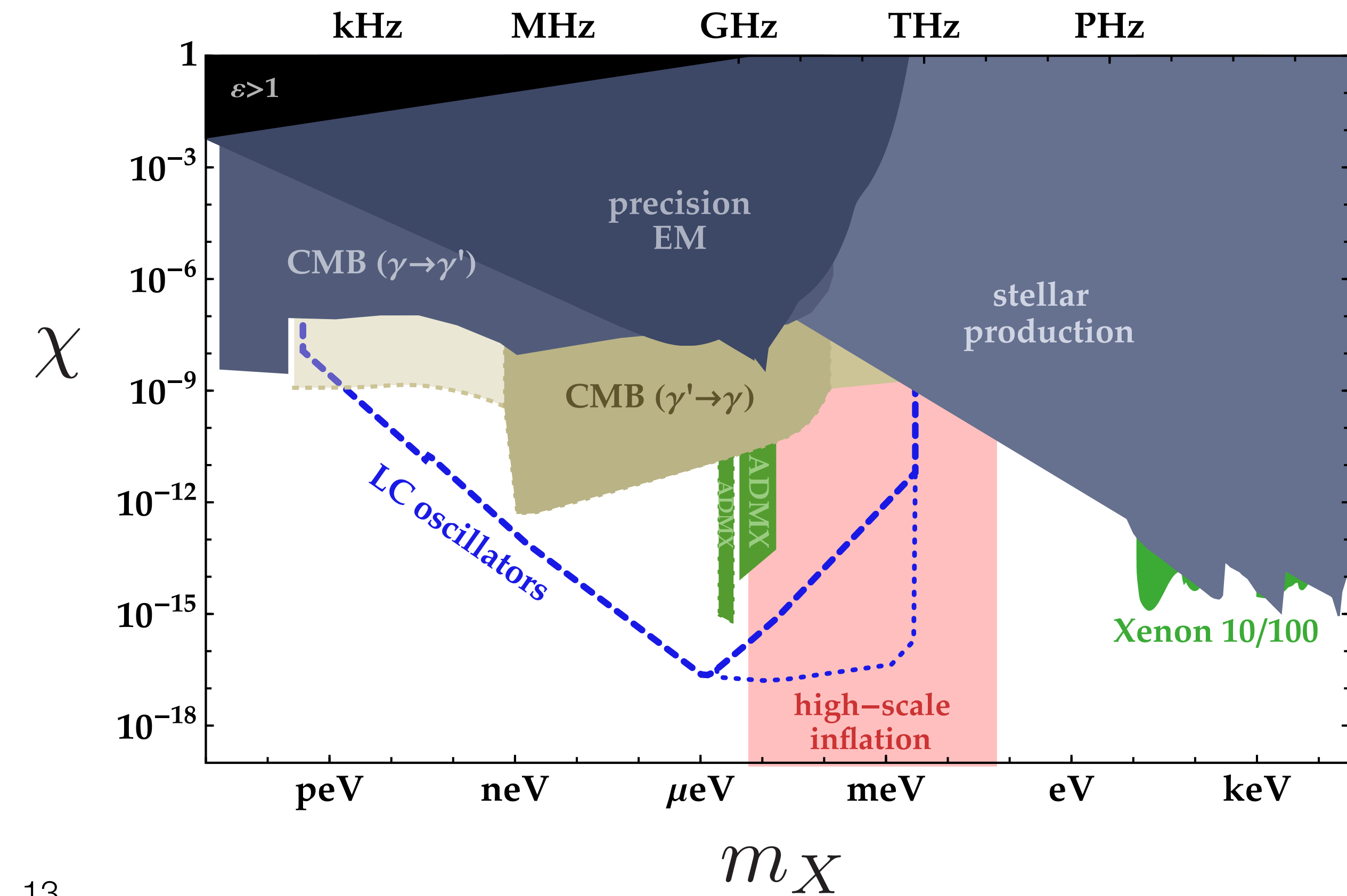
H_I : Hubble scale of inflation

$$H_I \lesssim 10^{14} \text{ GeV}$$

→ $m \gtrsim 10^{-5} \text{ eV}$

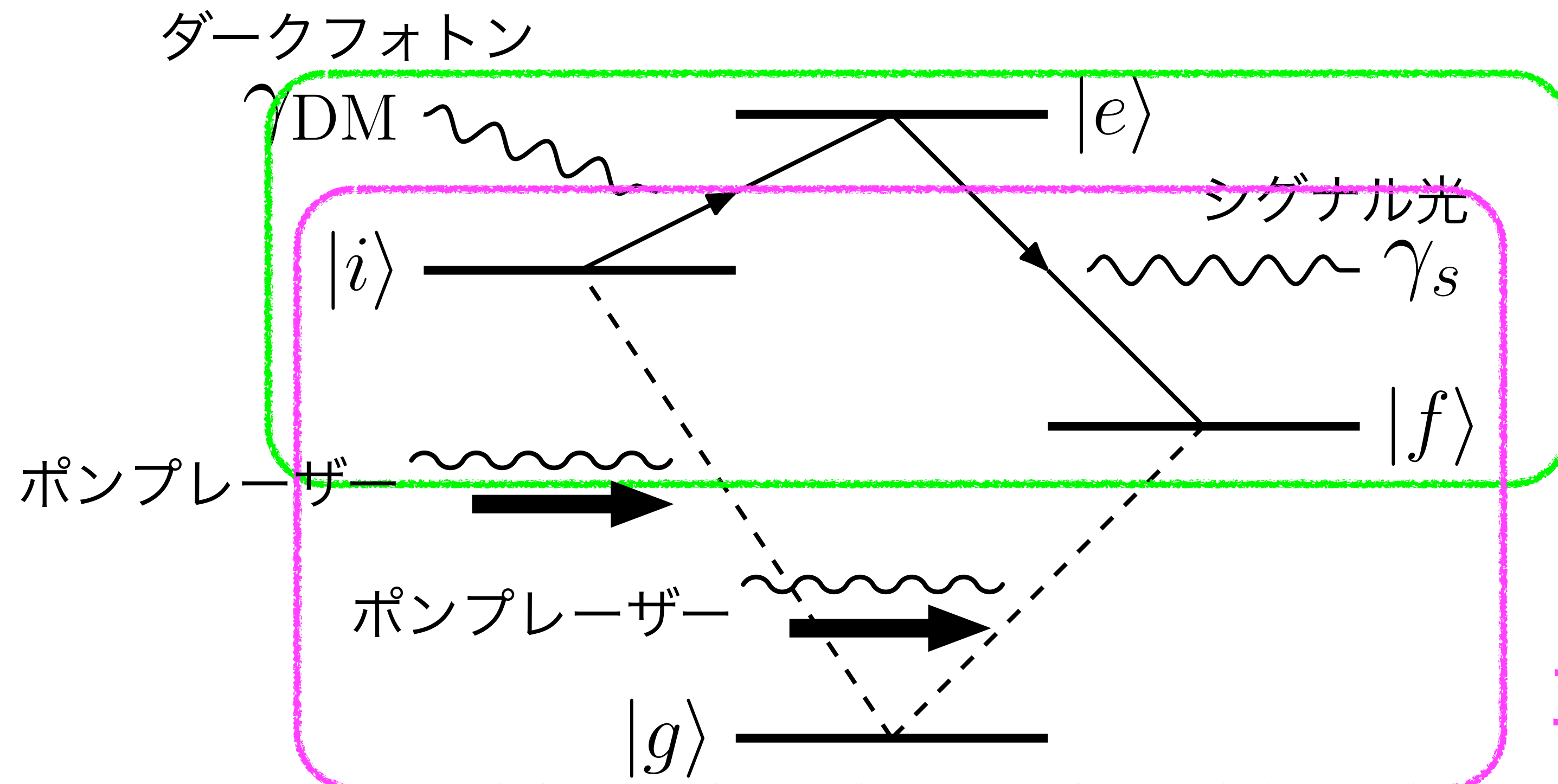
coherently oscillating

$$X^\mu \propto e^{im_X t}$$

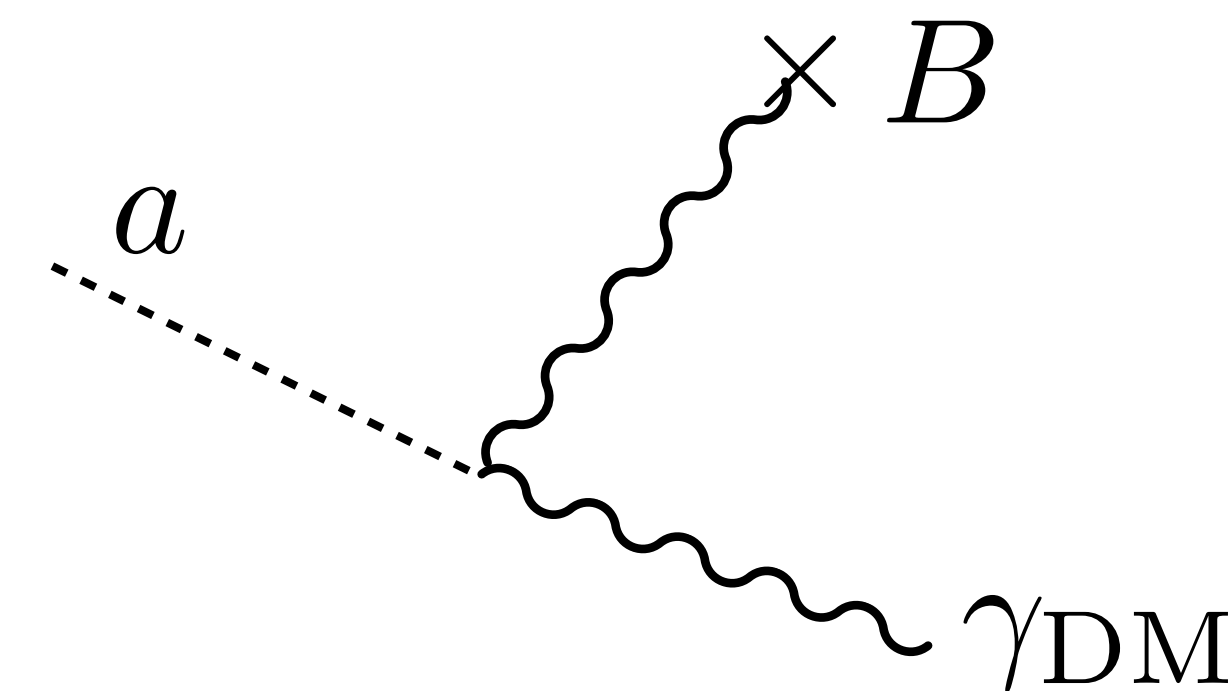


探索原理

ダークフォトン吸収励起



アクションの場合



マクロコヒーレンス

ダークフォトン, シグナル光, ポンプレーザーで運動量保存.

Csパイロット実験計画

$$|i\rangle = 5\text{p}^6 8\text{p}(J = 3/2), E_i = 3.198 \text{ eV},$$

$$|e\rangle = 5\text{p}^6 7\text{d}(J = 3/2), E_e = 3.230 \text{ eV},$$

$$|f\rangle = 5\text{p}^6 6\text{p}(J = 1/2), E_f = 1.386 \text{ eV},$$

$$E_{ei} = 0.032 \text{ eV} \simeq m_{\text{DM}}, E_{ef} = 1.844 \text{ eV} \simeq E_s,$$

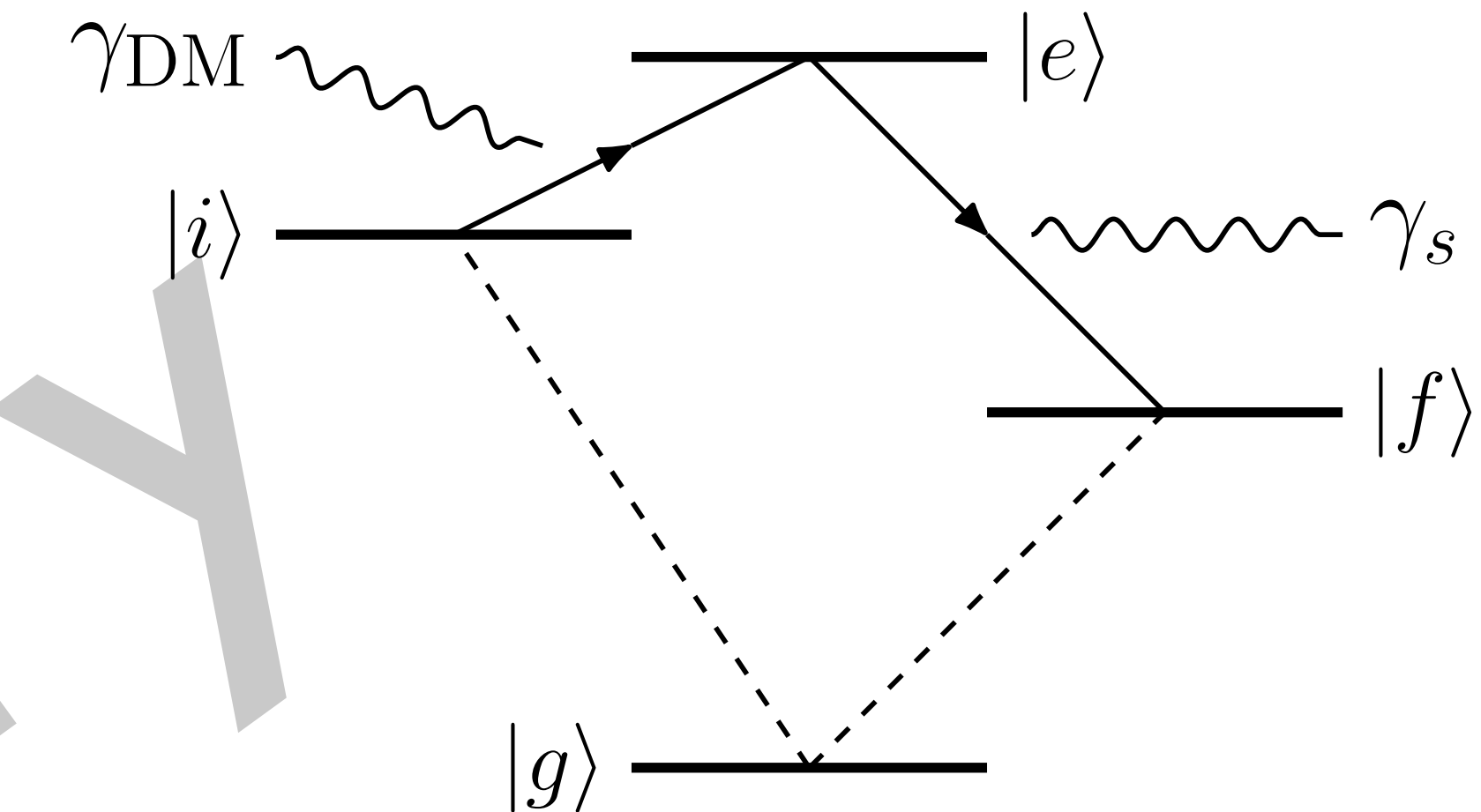
$$\tau_i = 274 \text{ ns}, \tau_e = 89 \text{ ns}, \tau_f = 34.9 \text{ ns},$$

$$d_{ei} = 7.175 e a_B, r_{fe} = 1.03 a_B,$$

target spec. $n = 1 \times 10^{12} \text{ cm}^{-3}, V = 0.1 \times 0.1 \times 1 \text{ cm}^3$

$$\Gamma = 7.9 \times 10^3 \left(\frac{\chi}{10^{-9}} \right)^2 \left(\frac{n}{10^{12} \text{ cm}^3} \right)^2 \left(\frac{\rho_{fi}}{0.25} \right)^2 \text{ Hz}$$

cf. single atom rate: $\Gamma_0 = 1.8 \times 10^{-8} \left(\frac{\chi}{10^{-9}} \right)^2 \text{ Hz}$



コヒーレンス生成

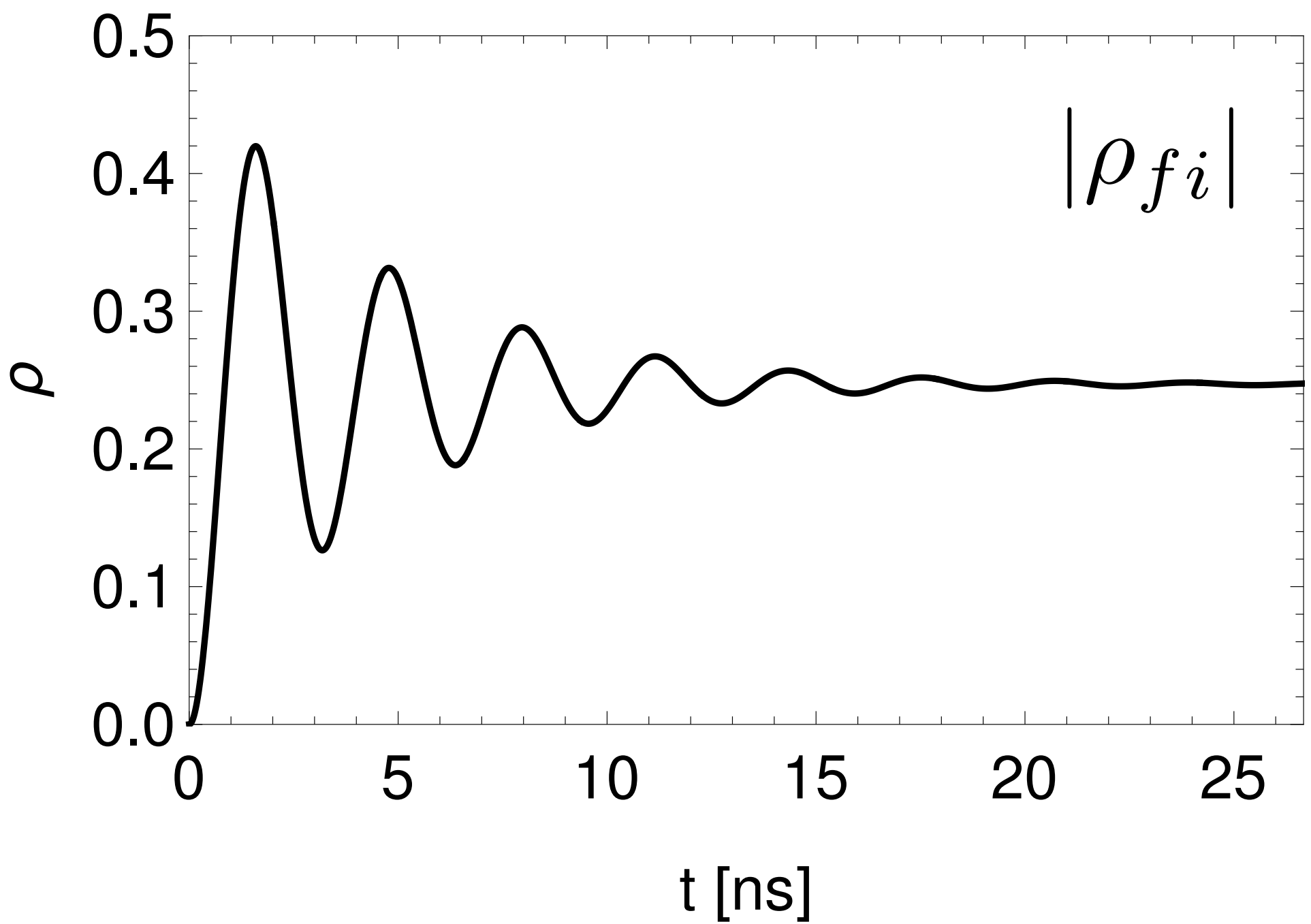
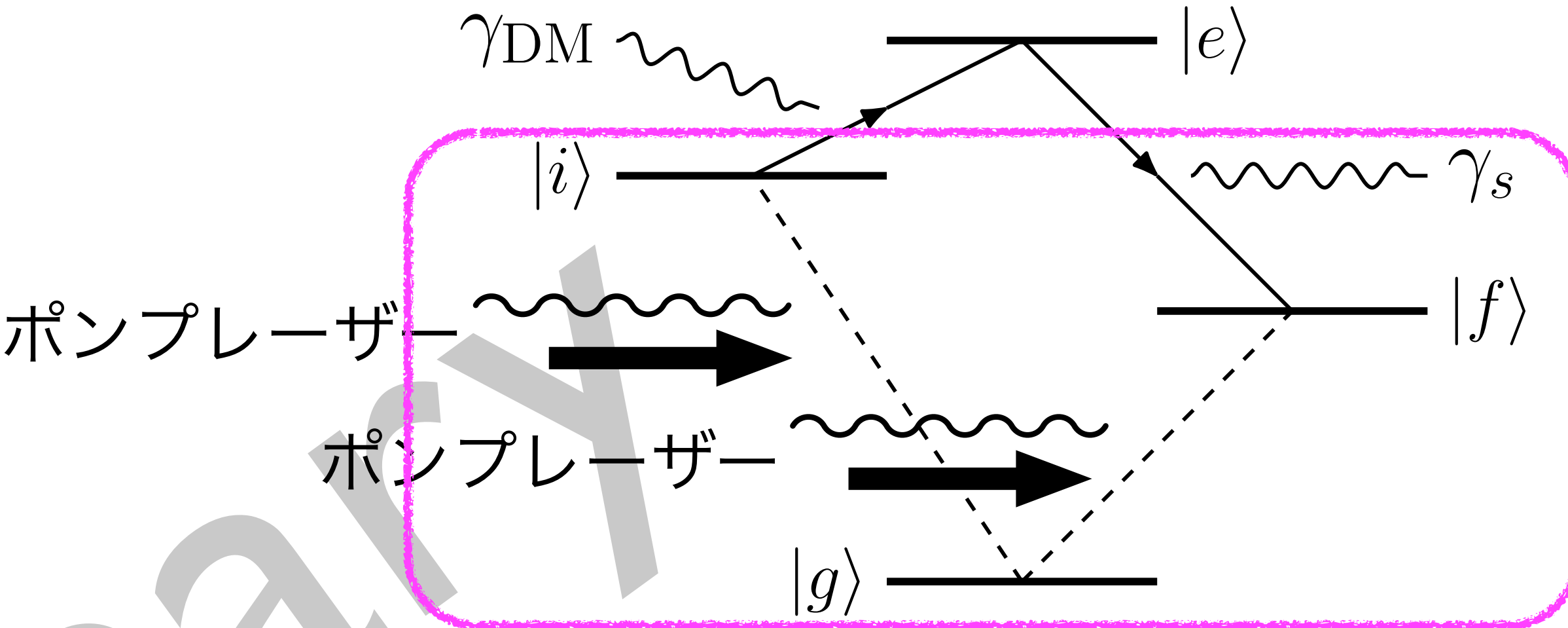
Liouville - von Neumann
equation with relaxation

$$\partial_t \rho_{ij}(t) = -i[H(t), \rho(t)]_{ij} - \sum_{m,n} \Gamma_{ij,mn} \rho_{mn}$$

Toy parameters with
radiation damping only

CW laser power: 100 mW

Laser cross section: 1 mm²



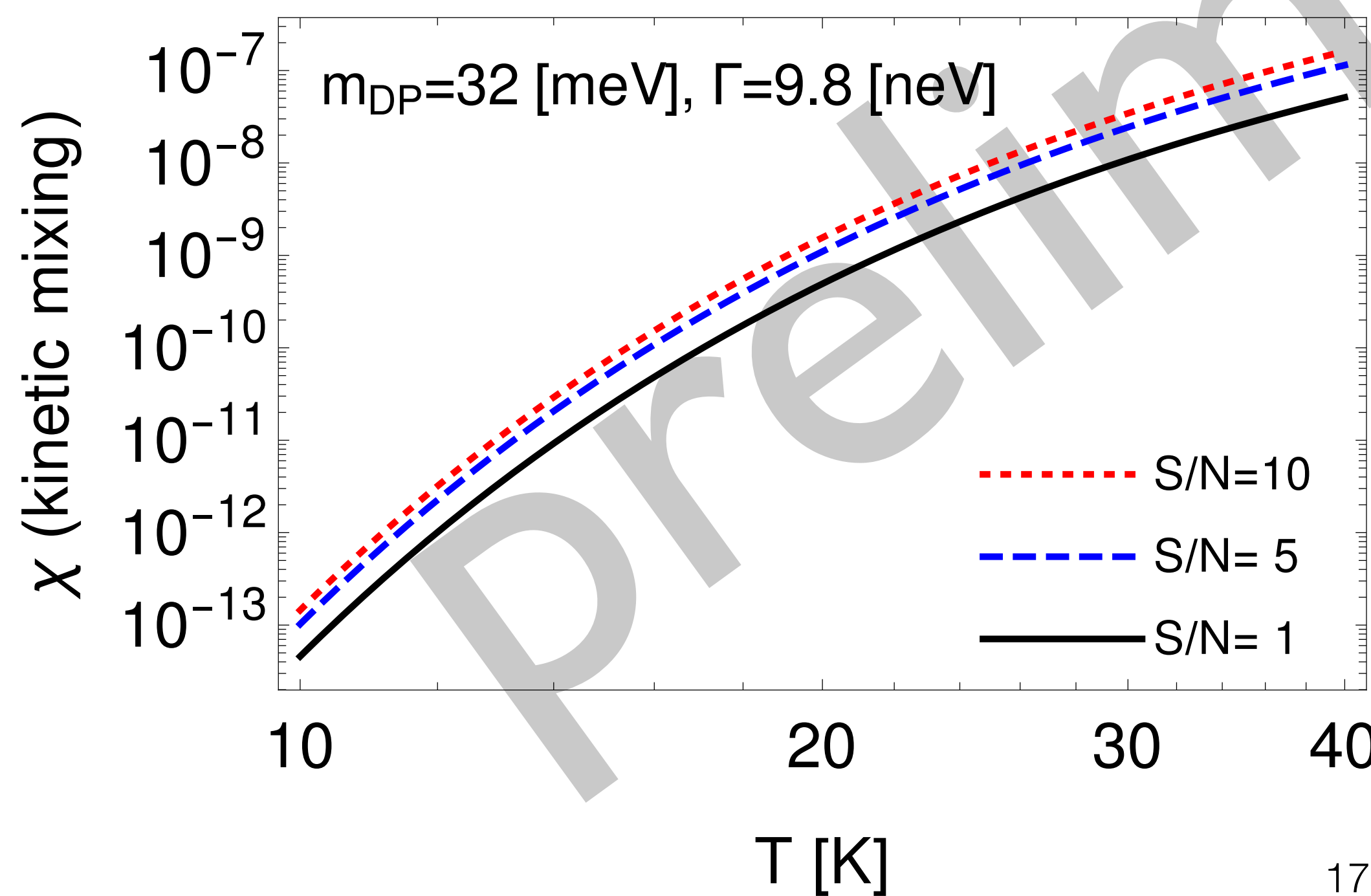
バックグラウンド例

Black-body radiation

dark photon \rightarrow BBR photon

not macrocoherent in the limit of $N, V \rightarrow \infty$ (N/V fixed)

potentially dangerous for finite volume



まとめ

- 原子集団のコヒーレンスを用いたレート増幅

ρ_{fi} が重要. マクロコヒーレンスと運動量保存.

- ハローダークフォトン／アクション探索計画

Csパイロット実験を計画中 (岡山大)

準位選定, 緩和過程, バックグラウンド等, 要検討

- 理論的課題

ダークフォトン偏極の検出方法

高密度(固体)標的